

# Chapitre (II) Fluide parfait

- 1) Théorème de Bernoulli pour un fillet fluide
- 2) Théorème de Bernoulli pour un écoulement potentiel
- 3) pression statique et pression génératrice
- 4) tube de Pitot
- 5) tube de Venturi
- 6) vidange d'un réservoir
- 7) perte de charge
- 8) soufflerie basse vitesse
- 9) Écoulement incompressible non visqueux bidimensionnel.
- 10) Écoulement incompressible non visqueux tridimensionnel

# 1) Théorème de Bernoulli pour un filot fluide

Daniel Bernoulli 1740

voir Anderson p 177.

- fluide parfait

$$\sigma = -p \mathbf{I}$$

pas de conduction de chaleur

$$\left\{ \begin{array}{l} \frac{\partial p}{\partial t} + \operatorname{div}(\rho u) = 0 \\ \frac{\partial}{\partial t}(\rho u) + \operatorname{div}(\rho u \otimes u) + \nabla p = \rho f \\ \rho \frac{ds}{dt} = 0 \end{array} \right.$$

- Hypothèses

\* écoulement permanent  $\frac{\partial}{\partial t} \rightarrow 0$

\* les forces dérivent d'un potentiel

$$f = -\nabla \Phi$$

usuel : gravité  $f = -\vec{g} = -g \nabla z$

\* fluide incompressible ou en évolution barotrope

$$\frac{1}{\rho} \nabla p = \frac{1}{\rho_0} \nabla p$$

ou  $\frac{1}{\rho} \nabla p = \nabla h$   $h$ : enthalpie  
si isentropique

$$de = T ds - p d\left(\frac{1}{\rho}\right)$$

$$dh = d\left(e + \frac{p}{\rho}\right) = T ds + \frac{1}{\rho} dp.$$

$$ds = 0 \Rightarrow \frac{1}{\rho} \nabla p = \nabla h$$

Ⓡ barotrope  $p = G(\rho)$   $\frac{1}{\rho} \nabla p = \nabla \int \frac{dp(\xi)}{\xi}$   
encore noté h!

• Calcul élémentaire

$$(\operatorname{div}(\rho u \otimes u))_i = \partial_j (\rho u_i u_j) = (\rho u \nabla u)_i + \operatorname{div}(\rho u).$$

$$u \cdot \nabla u = \nabla \left( \frac{u^2}{2} \right) + \omega \times u.$$

$$\omega_i = \varepsilon_{ijk} \partial_j u_k = (\operatorname{rot} u)_i \quad \text{tourbillon.}$$

$$(\omega \times u)_i = \varepsilon_{ijk} \varepsilon_{jlm} (\partial_l u_m) u_k$$

$$\varepsilon_{jki} \varepsilon_{jlm} = \delta_{kl} \delta_{im} - \delta_{km} \delta_{il}$$

$$= (\partial_k u_i) u_k - u_k \partial_i u_k$$

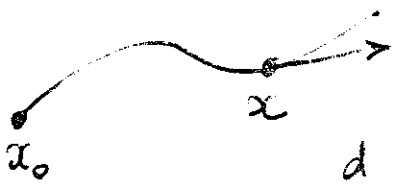
$$= (u \nabla u)_i - \nabla \left( \frac{u^2}{2} \right)$$

- on regroupe pour l'équation de l'impulsion

$$\rho u \cdot \nabla u + \nabla p + \rho \nabla \Phi = 0.$$

$$\nabla \left( \frac{u^2}{2} + \phi \right) + \frac{1}{\rho} \nabla p + \omega \times u = 0.$$

- Ligne de courant



$$\frac{dx}{dt} = u(x(t)).$$

$$\frac{d}{dt} \left( \frac{u^2}{2} + \phi + h \right) = 0$$

car  $(\omega, u, \frac{dx}{dt}) = 0$  puisque  $u \parallel \frac{dx}{dt}$ .

- $\left( \frac{h}{h} \right)$  Bernoulli filot fluide

hyp \* fluide parfait

\* écoulement permanent

\* fluide incompressible en évolution

barotrope  $\frac{1}{\rho} \nabla p = \nabla h$

\* force volumique dérivent du potentiel  $\Phi$

Conclusion

$$\frac{1}{2} u^2 + h + \Phi = \text{cte sur la ligne de courant}$$

## 2) Théorème de Bernoulli pour écoulement potentiel

### • Hypothèses

\* la vitesse  $u$  dérive du potentiel  $\varphi$ :  $u = \nabla\varphi$

\* fluide parfait  $\rho \frac{du}{dt} + \nabla p = \rho f$

\* incompressible ou évolution barotrope

$$\frac{1}{\rho} \nabla p = \nabla h.$$

avec  $h = \frac{1}{\rho_0} p$  en incompressible

$h = \int \frac{dp}{\rho}$  en barotrope

$h =$  enthalpie en isentropique

\* la force extérieure dérive d'un potentiel  $\bar{\Phi}$

$$f = -\nabla\bar{\Phi}$$

### • Conclusion

$$\frac{\partial\varphi}{\partial t} + \frac{u^2}{2} + h + \bar{\Phi} = \text{constante dans tout le fluide (fonction du temps!)}$$

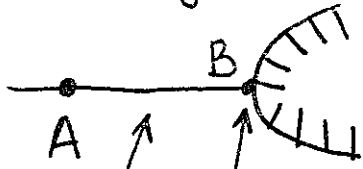
### • Preuve

$$\frac{\partial u}{\partial t} + \nabla \frac{u^2}{2} + \omega \times u + \nabla p + \nabla \bar{\Phi} = 0$$

$$\text{i.e. } \nabla \left( \frac{\partial\varphi}{\partial t} + \frac{u^2}{2} + h + \bar{\Phi} \right) = 0. \quad \blacksquare$$

### 3) Pression statique et pression génératrice

- Configuration géométrique



pression d'arrêt

point d'arrêt (vitesse nulle)

fluide en évolution barotrope.

- Bernoulli fillet fluide

$$\frac{1}{2} u_A^2 + h(p_A) + \Phi_A = 0 + h(p_B) + \Phi_B$$

$$\Phi_A = \Phi_B \text{ (droits)}$$

$$h(p_B) = \frac{1}{2} u_A^2 + h(p_A)$$

pression associée = pression génératrice

- Cas d'un écoulement incompressible

$$h = \frac{p}{\rho} \quad p_g = p_A + \frac{1}{2} \rho u_A^2$$

pression dynamique.

- Écoulement isentropique d'un gaz pft polytropique

$$p_g = p_A \left( 1 + \frac{\gamma-1}{2} \left( \frac{u_A}{c_A} \right)^2 \right)^{\frac{\gamma}{\gamma-1}}$$

$c_A$  = vitesse des son au point A

$$h = e + \frac{p}{\rho} \quad p = (\gamma - 1) \rho e \quad c^2 = \frac{\gamma p}{\rho}$$

$$\left. \begin{aligned} h &= \gamma e = \frac{\gamma}{\gamma - 1} \frac{p}{\rho} \\ \frac{p}{\rho^\gamma} &= \text{const} \end{aligned} \right\} h = \frac{\gamma p_0}{(\gamma - 1) \rho_0} \left( \frac{p}{p_0} \right)^{\frac{\gamma - 1}{\gamma}}$$

$$* h_g = h_A + \frac{1}{2} u_A^2$$

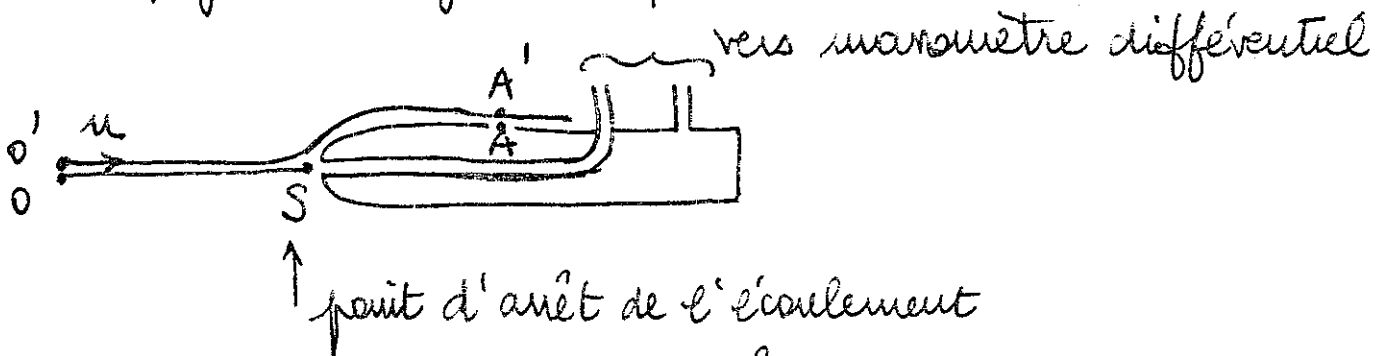
$$\text{ie } \left( \frac{p_g}{p_A} \right)^{\frac{\gamma - 1}{\gamma}} = 1 + \frac{1}{2} \frac{\gamma - 1}{\gamma} \frac{\rho_A}{p_A} u_A^2$$

$$= 1 + \frac{\gamma - 1}{2} \frac{u_A^2}{c_A^2}$$

$$\frac{p_g}{p_A} = \left( 1 + \frac{\gamma - 1}{2} \frac{u_A^2}{c_A^2} \right)^{\frac{\gamma}{\gamma - 1}} \quad \underline{\underline{\text{OK}}}$$

4) Tube de Pitot (Pois, 1732)  
(Guyon p194)

- configuration géométrique



$S$  → point d'arrêt de l'écoulement

$$P_S = P_0 + \frac{1}{2} \rho u^2$$

$A$  → point courant de l'écoulement

$P_A = P_0 +$  variation d'altitude négligeable

- Mesure de  $P_S - P_A = \Delta p$

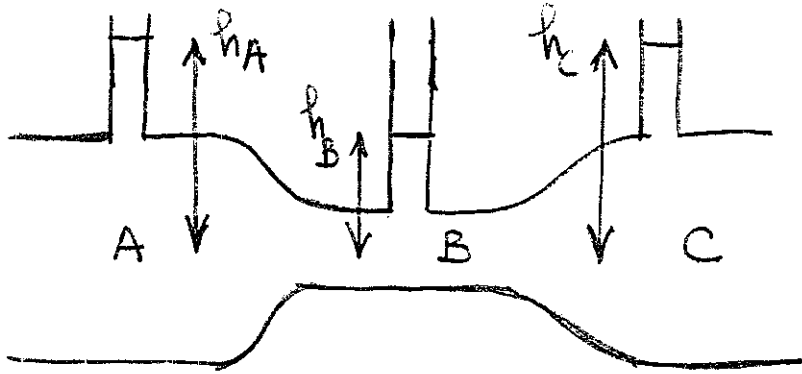
$$\Delta p = \frac{1}{2} \rho u^2$$

D'où une première approche de la mesure de la vitesse!



## 5) Tube de Venturi

- Configuration géométrique



- Cas idéal section A = section C  
et écoulement laminaire à travers le dispositif

→ pas de perte de charge

Alors  $h_A = h_C$  car  $u_A = u_C$  et Bernoulli

- Calculs

$$P_A = p_0 + \rho g h_A$$

$$P_B = p_0 + \rho g h_B$$

$$P_C = p_0 + \rho g h_C$$

Bernoulli 
$$P_A + \frac{1}{2} \rho u_A^2 = P_B + \frac{1}{2} \rho u_B^2 = P_C + \frac{1}{2} \rho u_C^2$$

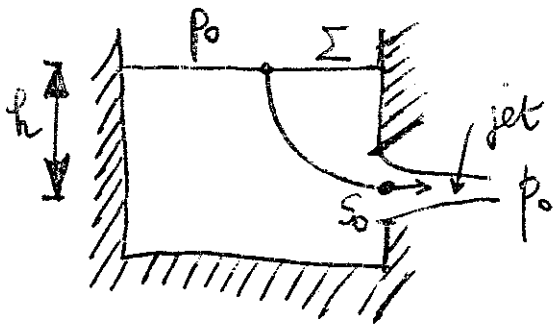
ie 
$$h_A + \frac{1}{2g} u_A^2 = h_B + \frac{1}{2g} u_B^2 = h_C + \frac{1}{2g} u_C^2$$

$$\frac{S_B}{S_A} = \beta = \frac{u_A}{u_B}$$

$$2g u_B^2 = \frac{h_A - h_B}{1 - \beta}$$

### 6) Vidange d'un réservoir

- Configuration géométrique



- Vitesse dans le jet de sortie

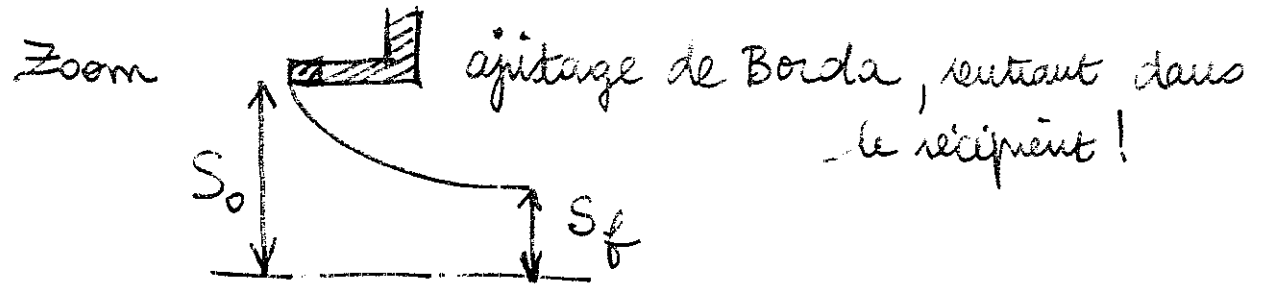
suivre la ligne de courant partant de la surface libre à pression atmosphérique  
 Négliger la vitesse de descente du niveau liquide

$S_0$  section venue  $\ll$   $\Sigma$  section réservoir

$$p_0 + \rho g z_0 = p_0 + \frac{1}{2} u^2 + \rho g (z_0 - h)$$

donc  $u = \sqrt{2gh}$  formule de Torricelli

- Calcul de la section contractée.



\* Conservation de l'impulsion dans tout le volume du fluide, plus le jet jusqu'à la section  $S_f$

$$\int_S \rho u_x (u \cdot n) + \int_S p n_x = 0$$

$$1^{\text{ère}} \text{ intégrale} = \rho S_f v_f^2$$

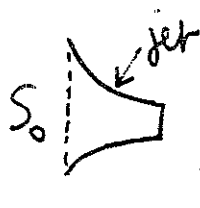
11

\* 2<sup>o</sup> intégrale?  $p \neq$  pression hydrostatique sauf sur la surface latérale du jet et dans la section de sortie (où elle vaut  $p_0$ ).

$$P_{\text{hydro}} = p_0 + \rho g (z_0 - z)$$

$$\int_S P_{\text{hydro}} n_x d\sigma = 0 \quad \text{car} \quad \int_S p \vec{m} = \text{poids du fluide dans surf. } S$$

$$\int_S p n_x d\sigma = \underbrace{\int_S P_{\text{hydro}} n_x d\sigma}_0 + \underbrace{\int_{\text{jet}} (p_0 - P_{\text{hydro}}) n_x d\sigma}$$



$$\int_{\text{jet}} n_x d\sigma = S_0 \quad \rho g (z - z_0) \int_{\text{jet}} n_x d\sigma = -h$$

$$\text{et} \quad \int_S p n_x d\sigma = -\rho g h S_0$$

$$* \text{ Donc} \quad \rho S_f \frac{v_f^2}{2} = \rho g h S_0 \quad S_f = \frac{1}{2} S_0$$

le rapport de la section contractée  $S_f$  à la section  $S_0$  de l'orifice vaut  $\frac{1}{2}$ .

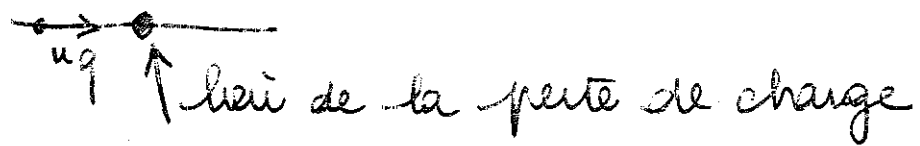
## 7) Perte de charge

- Quand on ne peut plus appliquer Bernoulli entre deux points
  - \* évolution non laminaire (dissipation de l'énergie...)
  - \* fluide non parfait (viscosité, turbulence, etc...).

- On pose
$$g \Delta H = \frac{1}{\rho} (P_1 - P_2) + \frac{1}{2} (v_1^2 - v_2^2) + g (z_1 - z_2)$$

↳ perte de charge, en mètres  
cf les habitudes des hydrologues!

- Coefficient de perte de charge



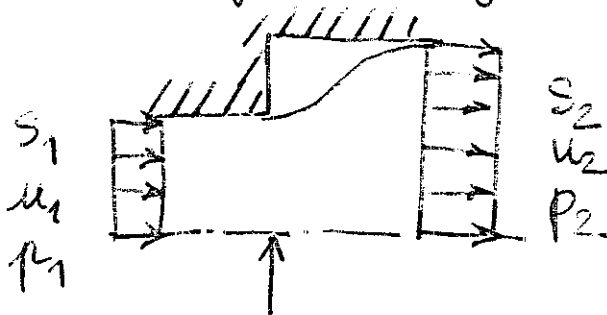
$$\Delta H = K \frac{1}{2g} u_g^2$$

coef de perte de charge

→ permet de dimensionner la puissance de l'installation motrice pour maintenir un écoulement permanent!

• Elargissement brusque (Kienard p109)

\* Configuration géométrique



(hyp) la pression statique reste constante dans le tuyau au lieu même de l'élargissement de la section.

\* égalité des débits:  $\rho u_1 S_1 = \rho u_2 S_2$

\* conservation de l'impulsion

$$\int_{\Omega} \{ \rho \vec{u} (u \cdot \vec{n}) + p \vec{n} \} d\Omega = 0 \quad \text{hyp!}$$

projetée sur  $Ox$ :  $S_2 (\rho u_2^2 + p_2) = S_1 (\rho u_1^2 + p_1) + (S_2 - S_1) p_2$

$$\text{ie } \frac{1}{\rho} (p_1 - p_2) = u_2^2 - \frac{S_1}{S_2} u_1^2$$

\* perte de charge

$$g \Delta H = \frac{1}{2} K_1 u_1^2$$

$$g \Delta H = \frac{1}{\rho} (p_1 - p_2) + \frac{1}{2} (u_1^2 - u_2^2)$$

$$= \frac{1}{2} u_1^2 \left( 2 \left( \frac{S_1}{S_2} \right)^2 - 2 \frac{S_1}{S_2} + 1 - \left( \frac{S_1}{S_2} \right)^2 \right)$$

$$= \left( 1 - \frac{S_1}{S_2} \right)^2 \frac{1}{2} u_1^2$$

$$K_1 = \left( 1 - \frac{S_1}{S_2} \right)^2$$

$$K_1 \rightarrow 1 \text{ si } S_2 \rightarrow +\infty$$

• autres configurations  $\rightarrow$  savoir faire de l'ingénieur! (IAT chenal)

8)  soufflerie subsonique à retour  
(Eiffel 1911)

- introduction Auderon p123
- perte de charge et puissance de la motorisation Menard p 105
- voir R. Chenel pour le dimensionnement de S10.

### 3) Écoulement incompressible non visqueux bidimensionnel

- Écoulement potentiel

$$u = \nabla \varphi$$

- \* Bernoulli pour évaluer la pression

$$\nabla \left( \frac{u^2}{2} + h + \frac{\partial \varphi}{\partial t} + \Phi \right) + \underbrace{\text{rot } u \times u}_{=0} = 0$$

- \* Écrire la conservation de la masse

$$\Delta \varphi = 0$$

- Fonction courant

$$\text{div } u = 0 \quad \rightarrow$$

sous des hypothèses ad hoc!

$$\vec{u} = \text{rot } \psi$$

$$u = \frac{\partial \psi}{\partial y}, v = -\frac{\partial \psi}{\partial x}$$

alors  $\text{rot } \vec{u} = 0$  s'écrit

$$\text{rot}(\text{rot } \psi) = \underbrace{\nabla(\text{div}(\psi \vec{k}))}_0 - \Delta \psi$$

$$\text{et } \Delta \psi = 0$$

- Conditions aux limites en surface



Non pénétration dans la paroi

$$u \cdot n = 0$$

$$* \quad \frac{\partial \varphi}{\partial n} = 0 \quad \text{Neumann}$$

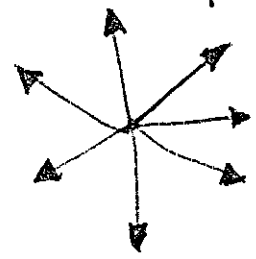
$$* \quad \frac{\partial \psi}{\partial z} = 0 \quad \psi = \text{cte} \quad \text{Dirichlet}$$

⇒ Modèle linéarisé de fluide parfait!

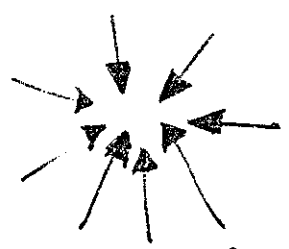
- Ecoulement uniforme (1) ← premier écoulement élémentaire

$\vec{u}_{\infty}$   $\phi = u_{\infty} x$        $\psi = u_{\infty} y$

- Source et puits (2)



jet d'eau.



canal.

vitesse radiale  $V_r$ ; vitesse angulaire  $V_{\theta}$   
 $\text{div} u = \frac{1}{r} \frac{\partial}{\partial r} (r V_r) + \frac{1}{r} \frac{\partial}{\partial \theta} (V_{\theta})$

ici  $V_{\theta} = 0$ ,  $r V_r = \text{cte} = c$

\* flux de masse / eq  $\dot{m} = \int_{\text{circuit}} \rho u \cdot n \, d\sigma$

qui ne dépend pas du circuit (conservation de la masse). on choisit le cercle de rayon 1

$\dot{m} = \rho c 2\pi$

$\frac{\dot{m}}{\rho} =$  flux volumique par seconde  $\equiv \Lambda$

alors  $c = \frac{\Lambda}{2\pi}$

$V_r = \frac{\Lambda}{2\pi r}$

- \* Potentiel scalaire

$u = \begin{cases} \partial\phi/\partial x \\ \partial\psi/\partial y \end{cases}$

$\phi = \frac{\Lambda}{2\pi} \log r$



\* fonction courant

$$\frac{1}{r} \frac{\partial \psi}{\partial \theta} = V_r = \frac{\Lambda}{2\pi r} \quad ; \quad -\frac{\partial \psi}{\partial r} = V_\theta = 0$$

$$\psi = \frac{\Lambda}{2\pi} \theta$$

• Ecoulement uniforme combiné avec une source.

\* les potentiels s'ajoutent!

$$\psi = V_\infty r \sin \theta + \frac{\Lambda}{2\pi} \theta \quad \varphi = V_\infty r \cos \theta + \frac{\Lambda}{2\pi} \log r$$

\* point d'arrêt :  $V_\infty \cos \theta + \frac{\Lambda}{2\pi r} = 0$  ;  $V_\infty r \sin \theta = 0$

$$r = \frac{\Lambda}{2\pi V_\infty} \quad ; \quad \theta = \pi \quad ; \quad \text{alors } \psi = \frac{\Lambda}{2}$$

courbe  $\psi = \frac{\Lambda}{2} \rightarrow$  ligne de courant passant par le point d'arrêt

$\hookrightarrow$  interprétation physique = paroi.

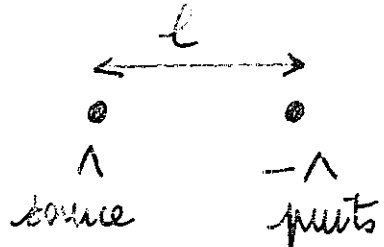


$$r \sin \theta = \frac{\Lambda}{2V_\infty} \left(1 - \frac{\theta}{\pi}\right)$$

exo écoulement uniforme avec une source et un puits. Voir Anderson p144.

• Doublet (dépôt sur électrostatique) ③

source et puits distants d'une distance  $l$   
 et de force opposée  $\Lambda$ .



$$\begin{cases} l \rightarrow 0 \\ l\Lambda = \text{cte} = \kappa \end{cases}$$

$$\psi = \frac{\Lambda}{2\pi} (\theta_1 - \theta_2)$$

$$\rightarrow \psi = -\frac{\kappa}{2\pi} \frac{\sin\theta}{r}$$

De même,  $\varphi = \frac{\kappa}{2\pi} \frac{\cos\theta}{r}$



• Écoulement non portant autour d'un cylindre circulaire

\* Mettre un doublet dans un écoulement uniforme

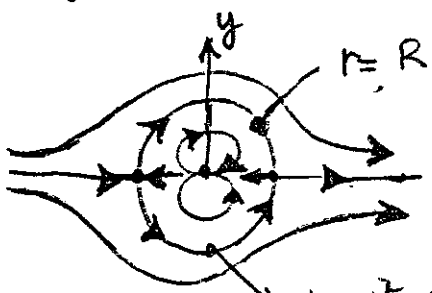
$$\psi = V_{\infty} r \sin\theta - \frac{\kappa}{2\pi} \frac{\sin\theta}{r} = V_{\infty} r \sin\theta \left( 1 - \frac{R^2}{r^2} \right)$$

point d'arrêt

$$R^2 = \frac{\kappa}{2\pi V_{\infty}}$$

$$\begin{cases} V_r = \frac{1}{r} \frac{\partial \psi}{\partial \theta} = \left( 1 - \frac{R^2}{r^2} \right) V_{\infty} \cos\theta \\ V_{\theta} = -\frac{\partial \psi}{\partial r} = -\left( 1 + \frac{R^2}{r^2} \right) V_{\infty} \sin\theta \end{cases}$$

$$V_r = V_{\theta} = 0 \rightarrow \sin\theta = 0 \quad r = R, \text{ alors } \psi = 0$$



ligne de courant  $\psi = 0$   
 $r = R \rightarrow$  cylindre.

point de vitesse maximale =  $2V_{\infty}$ .

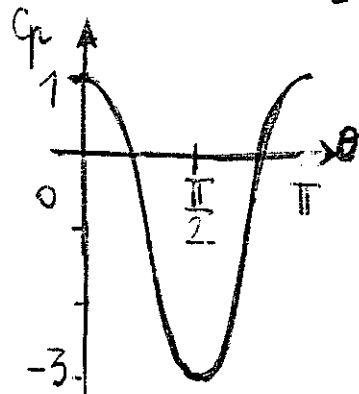
\* Coefficient de pression

$$C_p = \frac{p - p_\infty}{\frac{1}{2} \rho V_\infty^2} \quad \text{sur la paroi } (r=R)$$

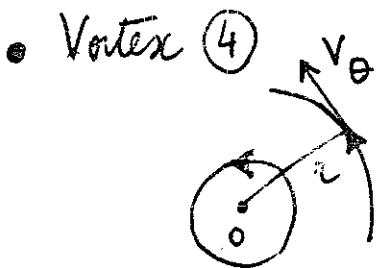
Bernoulli:  $\frac{p}{\rho} + \frac{w^2}{2} = \text{cte} = \frac{p_\infty}{\rho} + \frac{V_\infty^2}{2}$

$$C_p = 1 - \frac{w^2}{V_\infty^2} = 1 - 4 \sin^2 \theta$$

car  $w^2 = V_r^2 + V_\theta^2 = V_\infty^2 \left[ 1 + \frac{R^4}{r^4} + 2 \frac{R^2}{r^2} (2 \sin^2 \theta - 1) \right]$



même pression sur  
la partie supérieure et  
inférieure du cylindre  
→ pas de portance



$$V_\theta = V_\theta(r), \quad V_r = 0$$

rot  $u = 0 \Rightarrow$  la circulation autour de  
l'origine  $\Gamma$  ne dépend pas du contour.

$$\Gamma = \int_{\Gamma} u \cdot r \, d\sigma = V_\theta \, r \cdot 2\pi \quad V_\theta = \frac{\Gamma}{2\pi r}$$

potentiel scalaire  $\varphi = \frac{\Gamma}{2\pi} \theta$

fonction courant  $\psi = -\frac{\Gamma}{2\pi} \log r$

(R) Dans les 3 autres cas,  $\varphi =$  fonction  $(x, y)$  bien définie,  
ce qui n'est pas le cas ici (cf  $r=0$ !)

Donc  $\text{rot } u \neq 0$  en ce pt  $\rightarrow$  singularité

→ tourbillon local

→ écoulement potentiel hors de l'origine

• Ecoulement portant autour d'un cylindre (tournant)

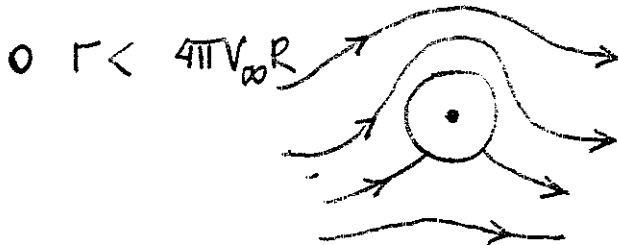
\* écoulement non portant  $\psi = V_{\infty} r \sin \theta \left(1 - \frac{R^2}{r^2}\right)$   
 plus un vortex  $\psi_2 = -\frac{\Gamma}{2\pi} \log \frac{r}{R}$ .

$$\psi = V_{\infty} r \sin \theta \left(1 - \frac{R^2}{r^2}\right) - \frac{\Gamma}{2\pi} \log \frac{r}{R}$$

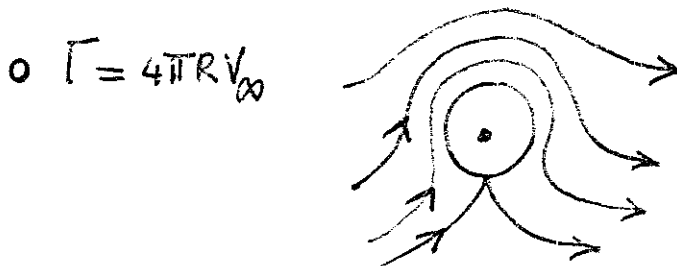
$$V_r = \left(1 - \frac{R^2}{r^2}\right) V_{\infty} \cos \theta \quad V_{\theta} = -\left(1 + \frac{R^2}{r^2}\right) V_{\infty} \sin \theta + \frac{\Gamma}{2\pi r}$$

\* Point d'arrêt  $V_r = V_{\theta} = 0$

$$r = R \text{ et } \sin \theta = \frac{\Gamma}{4\pi V_{\infty} R} \quad \text{ou } \cos \theta = 0 \dots$$

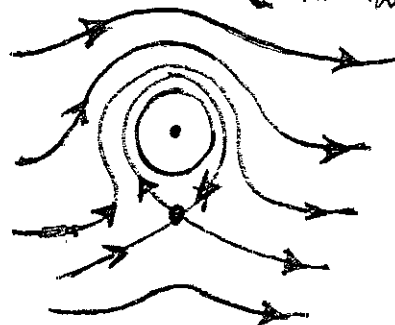


②  $\Gamma < 0$  sur la figure  
 ↓ figure



•  $\Gamma > 4\pi R V_{\infty}$

$$r = R \left( \frac{\Gamma}{4\pi R V_{\infty}} \pm \sqrt{\left(\frac{\Gamma}{4\pi R V_{\infty}}\right)^2 - 1} \right)$$



prendre la racine  $> R$

\* coefficient de pression

$$C_p = 1 - \left(\frac{u}{u_{\infty}}\right)^2 = 1 - \left[ 4 \sin^2 \theta - \frac{2\Gamma \sin \theta}{\pi R V_{\infty}} + \left(\frac{\Gamma}{2\pi R V_{\infty}}\right)^2 \right]$$

$$\begin{aligned}
 \uparrow \text{portance} &= - \int_{-\pi}^{\pi} p \sin \theta \, ds \\
 \rightarrow \text{traînée} &= - \int_{-\pi}^{\pi} p \cos \theta \, ds = 0
 \end{aligned}$$

$$- \text{portance} = \int_{-\pi}^{\pi} p \sin \theta \, R \, d\theta = \frac{1}{2} \rho_{\infty} V_{\infty}^2 \int_{-\pi}^{\pi} C_p \sin \theta \, R \, d\theta$$

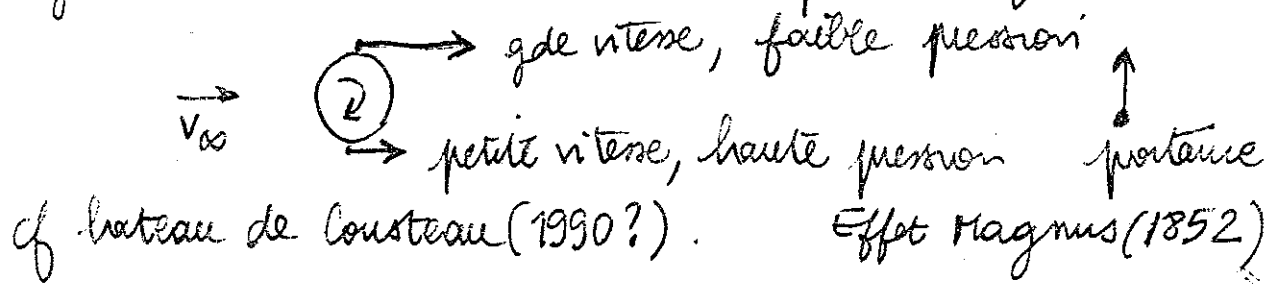
$$-L_{\text{ift}} = \frac{1}{2} \rho_{\infty} V_{\infty}^2 \cdot \frac{2\Gamma}{\pi R V_{\infty}} R \int_{-\pi}^{\pi} \sin^2 \theta \, d\theta = \rho_{\infty} V_{\infty} \Gamma$$

cf (Ph) de Kutta - Joukowski (1910)

\* Quid en pratique?

cylindre fixe  $\rightarrow$  pas de portance, de la traînée

cylindre tournant  $\rightarrow$  on a une portance finie.



# 10) Écoulement incompressible non visqueux tridimensionnel

- Écoulement potentiel

$$u = \nabla \varphi \quad \Delta \varphi = 0$$

fonction courant? potentiel vecteur!

$$\operatorname{div} u = 0 \rightarrow u = \operatorname{rot} \psi \quad \psi \in \mathbb{R}^3$$

(2) condition de jauge, etc... bof!

- écoulement uniforme  $\varphi = V_\infty x$

- source et puits

débit volumique  $\Lambda$

$$v_r = \frac{Q}{4\pi r^2} \quad v_\varphi = v_\theta = 0$$

$$\varphi = -\frac{Q}{4\pi r} \quad -\Delta \varphi = Q \delta(r)$$

- Dipôle

$$v_r = K \frac{\cos \varphi}{2\pi r^3}; \quad v_\varphi = K \frac{\sin \varphi}{4\pi r^3}$$

$$\bar{\Phi} = -\frac{K \cos \varphi}{4\pi r^2} \quad -\Delta \bar{\Phi} = K \delta'(r) \quad (\text{signe OK?})$$

- Dipôle dans un champ uniforme  $\rightarrow$  sphère

$$\bar{\Phi} = V_\infty r \cos \varphi - K \frac{\cos \varphi}{4\pi r^2}$$

$$\left\{ \begin{array}{l} v_r = \frac{\partial \bar{\Phi}}{\partial r} = \left( V_\infty + \frac{K}{2\pi r^3} \right) \cos \varphi \\ v_\varphi = \frac{1}{r} \frac{\partial \bar{\Phi}}{\partial \varphi} = -\left( V_\infty - \frac{K}{4\pi r^3} \right) \sin \varphi \end{array} \right.$$

$$v_r \equiv 0 \text{ à } r=R \Leftrightarrow K = -2\pi V_\infty R^3$$

alors  $\Phi = V_{\infty} \left(1 + \frac{R^3}{2r^3}\right) r \cos\varphi$

$$u_r = V_{\infty} \left(1 - \frac{R^3}{2r^3}\right) \cos\varphi, \quad u_{\varphi} = -V_{\infty} \left(1 + \frac{R^3}{2r^3}\right) \sin\varphi, \quad u_{\theta} = 0$$

• Tourbillon?

pas d'analogie aussi simple qu'en 2D...

voir plus loin au chapitre 6!